

Авторы пользуются случаем выразить свою признательность руководству ОМСП ИМГиГ и СВКНИИ ДВНЦ АН СССР, представивших сейсмограммы станций СКР и МАИ для построения спектров сейсмических волн камчатских землетрясений.

#### ЛИТЕРАТУРА

- Зобин В.М., Гордеев Е.И., Синельников Л.Г. Землетрясения Камчатки и Командорских островов // Землетрясения в СССР в 1980 году. М.: Наука, 1983. С. 94–101.
- Зобин В.М., Гордеев Е.И., Иванова Е.И. и др. Землетрясения Камчатки и Командорских островов // Землетрясения в СССР в 1981 году. М.: Наука, 1984. С. 97–105.
- Гусев А.А. Определение гипоцентров близких землетрясений Камчатки на ЭВМ // Вулканология и сейсмология. 1979. № 1. С. 74–81.
- Кузин И.П. Фокальная зона и строение верхней мантии в районе Восточной Камчатки. М.: Наука, 1974. 132 с.
- Федотов С.А. Энергетическая классификация курило-камчатских землетрясений и проблема магнитуд. М.: Наука, 1972. 117 с.
- Зобин В.М., Иванова Е.И., Чиркова В.Н. Онаговые параметры землетрясений Камчатки и Командорских островов // Вулканология и сейсмология. 1984. № 2. С. 83–103.
- Зобин В.М., Гордеев Е.И., Козырева Н.Н. и др. Камчатское землетрясение 17 августа // Землетрясения в СССР в 1983 году. М.: Наука, 1986. С. 102–116.

УДК 550.348.436

#### В.М. Зобин, Е.И. Гордеев, Е.И. Иванова, В.П. Митякин КамчатскФе землетрясение 28 декабря 1984 г.

Область Курило-Камчатской глубоководной впадины была слабоактивна. Отмечено пять событий с  $K \geq 11,5$  (№ 4, 6, 18, 25, 19). За исключением очага № 4, все они происходили как одиночные события. Землетрясение № 4 произошло 5 марта, имело магнитуду  $M_P = 6,1$ ;  $M_LH = 5,4$ , энергетический класс 13,5. Его сейсмический момент 17,6 лог. ед. (Н. м.), величина сброшенного напряжения 12 кПа. Оно было третьим по силе событием года. Землетрясение сопровождалось небольшой серией афтершоков 9–11-го энергетического класса. Подвижка в очаге главного толчка сдвиговая, с небольшой взбросовой компонентой.

Область Алеутской глубоководной впадины и ее склонов была также слабоактивна. Отмечено два сильных землетрясения – 28 сентября и 23 октября (№ 23, 24) – на глубинах 20–40 км, причем оба произошли как одиночные взбрососдвиговые подвижки на дистанции удалении от Командорских островов.

На территории п-ова Камчатка, кроме афтершоков землетрясения 17 августа 1983 г., отмечено пять сильных землетрясений (№ 13, 14, 15, 20, 26). При этом четыре очага характеризуются наличием сбрососдвиговой подвижки и лишь в очаге № 14 наблюдалась взбрососдвиг. Землетрясения одиночные, имеют как коровий очаг (№ 15), так и верхнемантинный очаги (№ 13, 14, 20, 26).

Таким образом, уровень сейсмической активности региона определялся в основном сейсмическими событиями на севере региона, в области пересечения структур Алеутской и Курило-Камчатской островных п-уг. Параллельно шли два интенсивных процесса: афтершоковая активность в области очага землетрясения 17 августа 1983 г. и подготовка и формирование очага землетрясения 28 декабря. Южная часть региона и Командорские острова находились на относительно низком уровне активности.

#### Макросейсмические данные и записи сильных движений

Наиболее сильное землетрясение (№ 29) ощущалось 28 декабря в районе мыса Африка силой 7–8 баллов (см. отдельную статью в настоящем сборнике). На территории Камчатки в течение года отмечено 52 толчка силой до 2–4 баллов, из них в Петропавловске-Камчатском десять толчков. Сильные движения для пяти землетрясений приведены в табл. 2.

Таблица 1  
Сводка определений параметров гипоцентра и энергетических характеристик землетрясения 28 декабря

Время в очаге, ч мин с	Координаты гипоцентра		Глубина очага, км	$K_{S1,2}$	Магнитуда	$m_b = 6,2$	$M_S = 7,0$	$M_{LHB} = 7,5$	Сейсмический момент, Н·м	$\lg M^P = 19,25$	Литературная ссылка
	$\varphi^{\circ} N$	$\lambda^{\circ} E$									
10 37 53,9	56,17	163,50	19	14,5						$\lg M^P = 19,25$	[1]
10 37 53,7	56,19	163,46	33							$\lg M^R = 18,57$	[2]
10 37 48,4	56,25	163,69	3							$\lg M^P = 19,15$	[3]

Таблица 2  
Данные о регистрации сильных движений

Дата	Время, ч мин	$S - P$ , с	$K$	Сейсмостанция	Тип прибора	Канал	Колебательная скорость, см/с	Интенсивность, баллы	Макросейсмические данные	Макросейсмические данные
07.02	16 03	6,0	10,5	Кроноки	ИСО	B-3	0,13	4	4	
25.03	23 28	6,5	10,4	"	ИСО.	B-3	0,18	4	4	
18.06	13 06	9,5	12,4	ИВ	ИСО	B-3	0,4	4–5	3–4	
23.10	08 05	9,0	12,4	Беринг	ИСО	C-10	0,26	4	2	
28.12	10 38	5,0	14,5	Мис. Африка	ССРЗ-			8	7–8	
					M*					

\* Величина ускорения колебаний грунта на станции мыс Африка составляет  $197 \text{ см}/\text{с}^2$ .

132

133

### Сейсмологическая обстановка возникновения очаговой зоны землетрясения 28 декабря

На рис. 1 представлена сейсмическая обстановка, сложившаяся за последние 20 лет на севере Камчатки. Показаны эпидицентры землетрясений с  $K = 14,5$  и выше. В течение рассматриваемого 20-летнего периода отмечено две вспышки повышенной сейсмической активности. В 1969–1971 гг. произошли два землетрясения с магнитудой выше 7,5 (№ 19, 12); Озерновское 22 ноября 1969 г. и Усть-Камчатское 15 декабря 1971 г. Затем стал наблюдаться спад уровня сейсмической активности. Начиная с 1980 г. в рассматриваемом районе сейсмическая активность вновь резко повысилась. В 1980–1983 гг. произошло три землетрясения с  $K \geq 14,5$ , в том числе два верхнемагнитных в центре излучины Камчатского залива (№ 40, 52) и одно юго-западнее о-ва Беринга (№ 45).

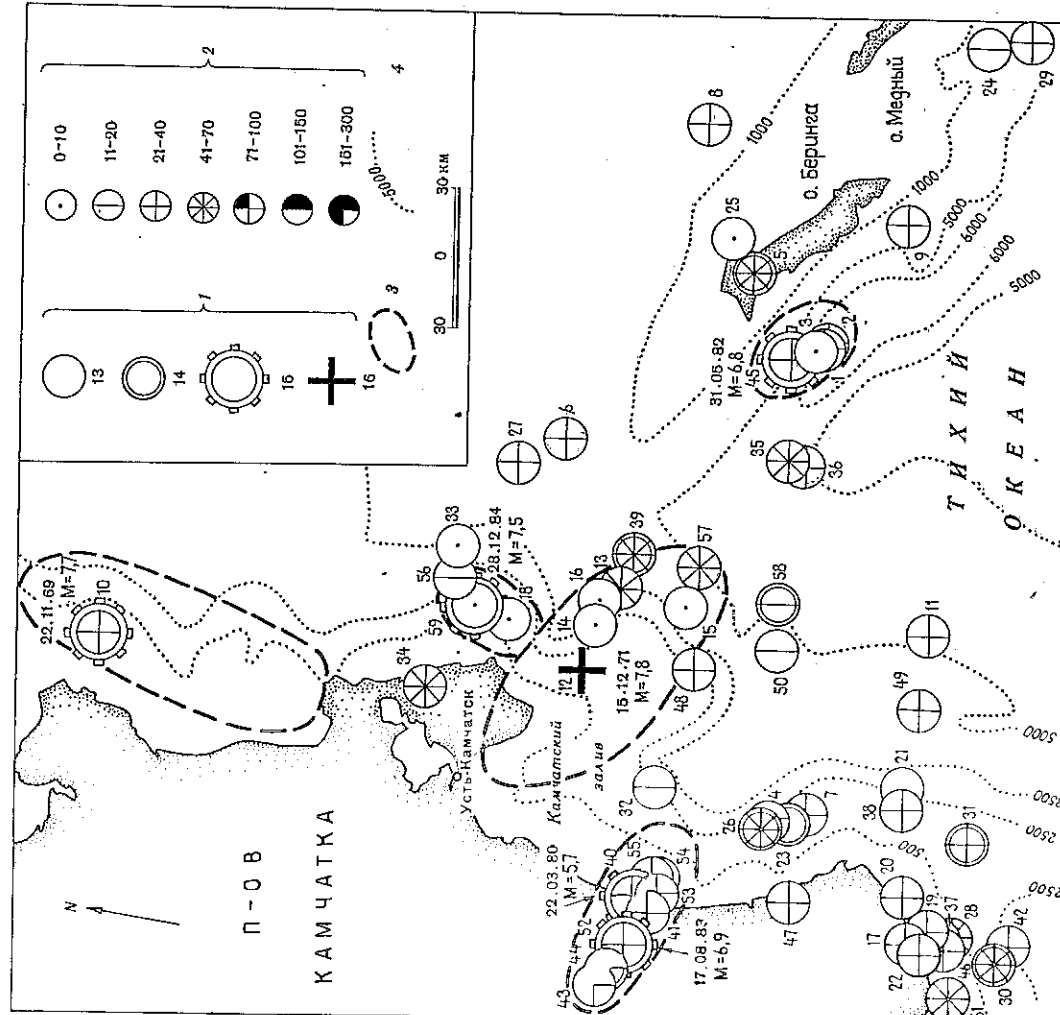


Рис. 1. Сейсмическая обстановка в районе Курило-Камчатской пересечки в 1965–1984 гг. по энергетическому уровню очагов землетрясений с  $K \geq 15$ ; 1 — энергетический класс  $K$ ; 2 — глубина очага, км; 3 — изобата, м

Очаг землетрясения 28 декабря возник в области сейсмического затылья северо-восточнее очага Усть-Камчатского землетрясения 15 декабря 1971 г. с  $M = 7,8$ . В период 1965–1983 гг. здесь произошло лишь одно землетрясение с  $K = 1,3$  (№ 18). Очаг сформировался в прибрежной зоне Камчатского п-ова и ограничен с двух концов изгибами морского дна на уровне изобаты 2500 м.

Проследим, как шло заложение области очага землетрясения 28 декабря в течение 1984 г. на уровне энергетического класса 10,5 и выше (рис. 2) 26 марта вблизи Камчатского п-ова произошло одиночное землетрясение с  $K = 13,2$ ,  $M_P = 5,9$ , на глубине 17 км. Через 2 ч после него в 50 км юго-западнее зарегистрировано землетрясение с  $K = 10,8$  на глубине 11 км. Эти два землетрясения как бы обрисовали две крайние

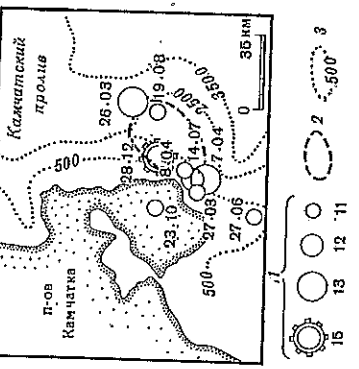


Рис. 2. Сейсмическая обстановка в районе Камчатского полуострова по энергетическому уровню  $K \geq 10,5$ : 1 — энергетический класс  $K$ ; 2 — очаговая область землетрясения 28 декабря; 3 — изобата, м

точки формирующегося очага землетрясения 28 декабря. В дальнейшем были отмечены землетрясения 7 и 8 апреля с  $K = 12,5$  и 11,5 соответственно у юго-западной оконечности очага 28 декабря. Исследование механизма очага землетрясения 26 марта и 7, 8 апреля показало [1], что землетрясение 26 марта, отмеченное на северо-восточной оконечности будущей очаговой области 28 декабря, представляло собой выбросовую подвижку, в то время как апельские землетрясения, отмеченные на юго-западной оконечности будущей очаговой области, представляли сдвиговые подвижки с небольшой сбросовой компонентой.

После событий в марте–апреле наступило относительное затишье. Лишь 19 августа у северо-восточной оконечности очага с  $K = 12,5$  и 11,5 соответственно одиночное землетрясение с  $K = 11,4$ . И наконец, на фоне затылья 28 декабря произошло землетрясение с  $M = 7,5$ , инструментальный эпицентр которого расположился вблизи очага 26 марта, а афтершоки заполнили пространство между очагами 26 марта и 7 апреля вдоль изобаты 2500 м.

### Макросейсмическое описание

В табл. 2 приведены сведения о макросейсмическом эффекте землетрясения, на рис. 3 показана схема изобейст. Ввиду слабой насыщенности региона изобейсты проведены приближенно.

Максимальный наблюденный макросейсмический эффект 7–8 баллов на мысе Африка — на расстоянии 10 км от инструментального эпицентра. Обследование проведено через две недели после землетрясения. Населенный пункт представлял собой маяк и жилые здания, деревянные, рубленые. Здания относятся к типу В. Грунт песчано-галечный с верхним задернованным слоем. Сооружения расположены на ровных площадках, напоминающих небольшие террасы. Расстояние до береговой черты около 150 м. В зданиях наблюдались повреждения первой и второй степени (рис. 4, а, б).

Появились трещины в штукатурке, в некоторых местах штукатурка отвалилась. Трещины имелись на дымовых трубах. После землетрясения хуже стала тяга в печи, по-видимому, осыпалась кирличи. Наблюдалось смещение в клязьме кафельной плитки. Утепл

Таблица 2

Макросейсмические данные о землетрясении 28 декабря

№ п/п	Пункт	Δ, км	№ п/п	Пункт	Δ, км
1	7-8 баллов		10	Мыс Африка	160
2	Мыс Африка	10	11	Мыс Озерной	188
3	Кругоберегово	50		Сейсмостанция Алахон-	
4	Усть-Камчатск	60	12	Чиц	
5	4-5 баллов			Кроноки	247
6	Район горы Лызык	125		Не ощущалось	
7	Никольское	180	13	Карагинский	260
8	Ключи	183	14	Эссо	320
9	Ука	210	15	Оссора	335
	Козыревск	245	16	Сейсмостанция Карым-	367
			17	Сийский	
				Станция Шипун-	
				ский	
			18	Петропавловск-Камчат-	425
				ский	486

треть. Поплы настенные маятниковые часы. Открывались двери. Люди в панике выбегали из помещений. Трудно было сохранить равновесие. Перед землетрясением и во время него был слышен гул. На не засыпанном снегом грунте около домов были видны многочисленные трещины шириной 2-4 мм (рис. 4, 6).

Общую их протяженность под снегом проследить не удалось.

В 6-балльной зоне представляют интерес случай с теплоходом "Ковдальс", который перед землетрясением сел на мель вблизи пос. Усть-Камчатск. Землетрясение ощущалось как сильные косые толчки, сравнимые с ударами от столкновения судов. После снятия с мели и осмотра подводной части было обнаружено, что днище судна длиной 100 м вместе с набором корпуса, включая кильеву балку, оказалось прогнутым в месте касания площадью 14 × 30 м. Величина стрелки прогиба составляет 40 см.

В пос. Усть-Камчатский, Кругоберегово землетрясение ощущалось как сильное раскачивание, сравнимое с качкой на море. Трудно было устоять на ногах, люди выходили из домов. Предметы сваливались с места, падали со столов. Сотрясения продолжались около 60 с.

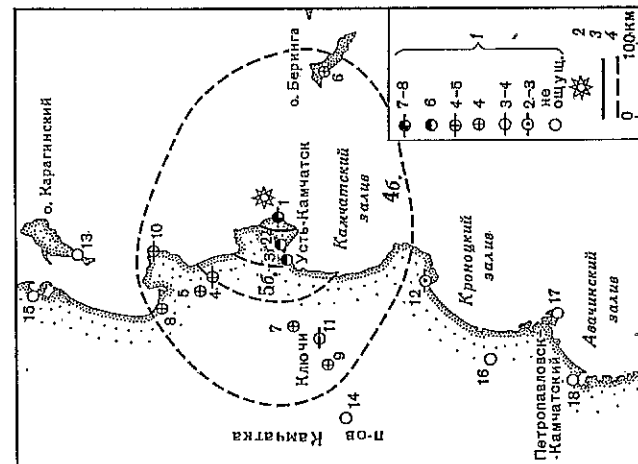
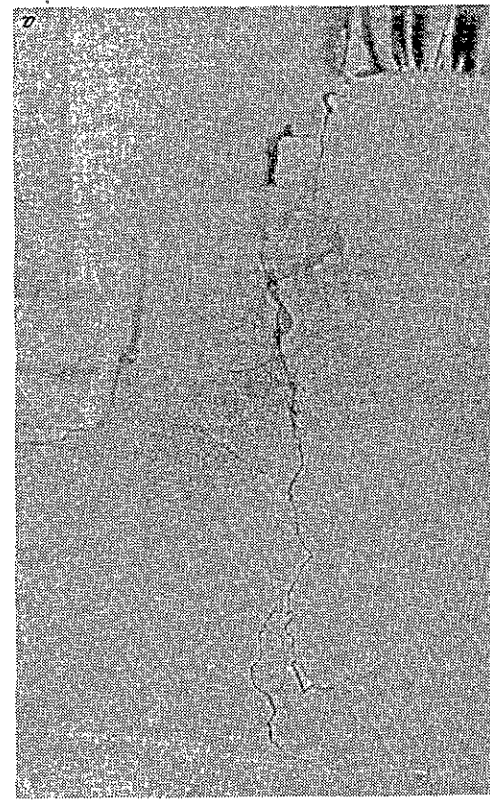
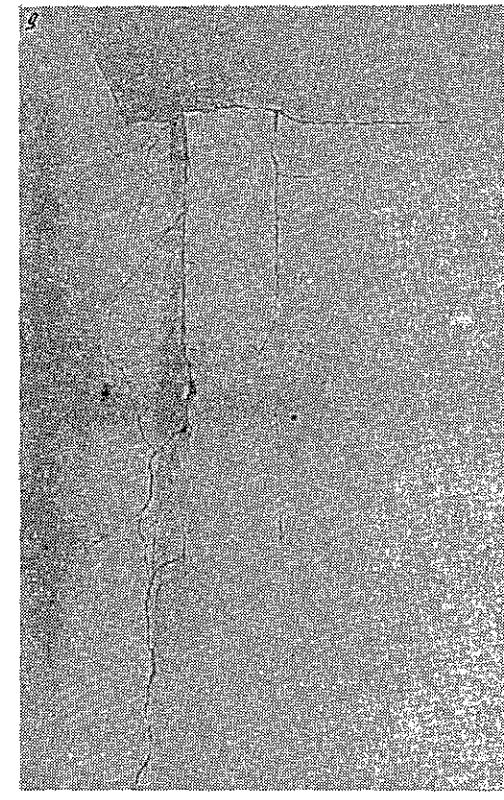
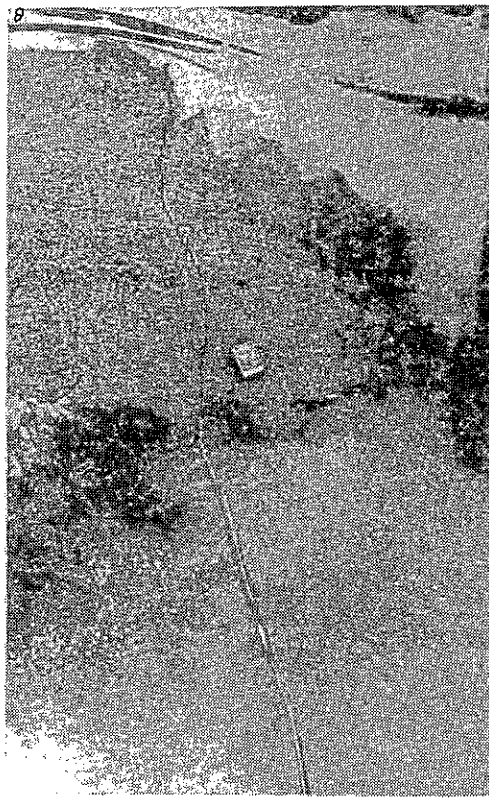


Рис. 3. Схема изобий землетрясения 28 декабря  
1 — балльность; 2 — эпицентр главного толчка  
(28.07.84 г., M = 75); 3, 4 — изобийствы уверенная  
(3) и приближенная (4)

Рис. 4. Изображение бытия землетрясения (а, б) и изображение природы (в) на месте Альпика (минута прохождения 10 км)



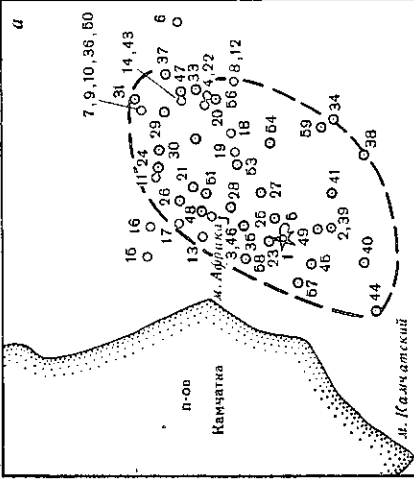
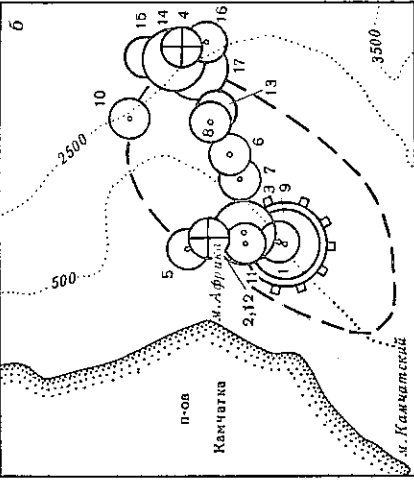


Рис. 5. Копии сейсмограмм землетрясения 28 декабря в 10 ч 37 мин на близких и телесейсмических расстояниях. На записях региональных сейсмических станций в первых вступлениях наблюдается слабоинтенсивная группа волн  $P$  с преобладающим периодом 1,5–2 с, через 5–7 с вступает существенно более интенсивная и более высокочастотная группа  $P$ -волн. По-видимому, эти две группы волн  $P$  связаны с процессом многократного формирования разрыва в очаге сильного землетрясения. На телесейсмических расстояниях это явление несколько сглажено, однако и на записи диннолperiодной аппаратурой СД-1 можно видеть, что в группе волн  $P$  максимальное смещение наблюдается через 8–10 с после первого вступления.

Формирование очаговой области. На рис. 6 показано распределение во времени и пространстве эпицентров афтершоков землетрясения 28 декабря, последовавших в течение суток после основного толчка. Рассмотрим, как формировались область толчка по данным афтершоков с  $K \geq 8,5$ .

За первые сутки было зарегистрировано 59 афтершоков 9–12-го энергетических классов. Проекция областей афтершоков первых суток (очаговая область землетрясения 28 декабря) представляет собой эллипсоидообразную зону, ориентированную вдоль изобат морского дна близ побережья Камчатского п-ова. С океанической стороны очертания очаговой зоны следуют очертания изобаты 2500 м. Инструментальный эпицентр главного толчка находится в срединной части северо-западной границы очаговой области. Размеры очаговой области: большая ось эллипса — 45 км, малая — 22 км.

Первый зарегистрированный афтершок произошел в 25 км на юго-запад от главного толчка. Это направление определило ориентацию большей оси эллипсоидной области, оконтуривающей афтершоки первых суток активности. Дальнейшее возникновение афтершоков шло достаточно хаотично, хотя для первых 20 афтершоков (выделенных черными кружками на рис. 6, а) можно заметить две основные тенденции распространения: вдоль побережья Камчатского п-ова (очаги № 2, 3, 5, 11, 13, 15–17, 21) и вкrest первого направления, вдоль простирации структур Алеутской губкой водной впадины (№ 4, 6–10, 14, 18–20).

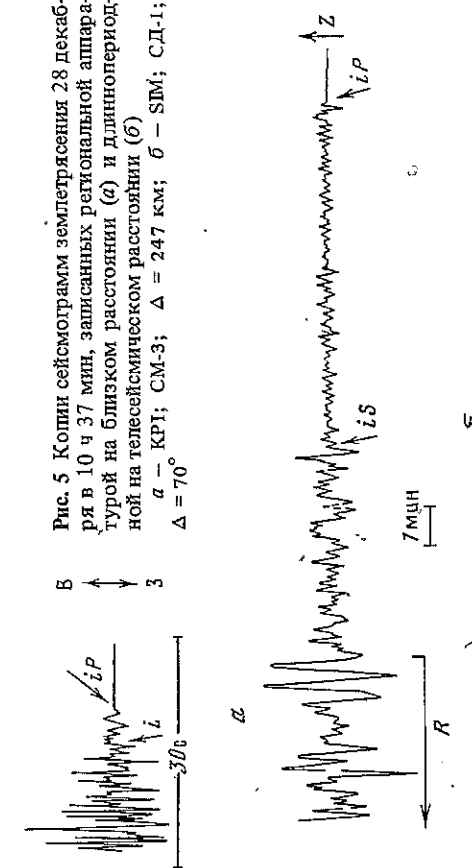
Механизм очага. На рис. 7 представлена стереограмма, построенная для анализа механизма очага землетрясения 28 декабря (сводку параметров очага главного толчка и сильных афтершоков см. в каталоге дополнительных параметров очагов землетрясений). Для построения распределения знаков смещения в первых вступлениях  $P$ -волн использованы данные 17 региональных сейсмических станций Камчатки и 182 станции советской и зарубежной сетей, приведенные в [2, 3]. Система напряжений, действовавшая в очаге землетрясения, характеризуется близгоризонтальным напряжением сжатия, идущим на северо-запад, и северо-восточным близгоризонтальным растяжением. В результате действия указанной системы напряжений произошла сдвиговая подвижка с небольшой взбросовой компонентой. По-видимому, реальная по верхности разрыва в очаге землетрясения может соответствовать субмеридиональной нодальной поверхности II, просирание которой близко к простиранию Курило-Камчатской группы эпицентров афтершоков (см. рис. 6). Это направление трассируется первыми по времени возникновения афтершоками. В этом случае можно попытать, что в очаге землетрясения произошел левый сдвиг с некоторой взбросовой составляющей. Механизм очага близок к построенным американским исследователями в [2].

Сопоставление механизма очага землетрясения 28 декабря с механизмом форшокового землетрясения марта–апреля показывает, что взбросодвиговый очаг землетрясения 26 марта, отмеченного близ эпицентра землетрясения 28 декабря, сформировался под действием той же системы напряжений, что и очаг землетрясения 28 декабря.

Землетрясения 7 и 8 апреля имели сдвиговый и сбросодвиговый очаги. Их эпцентры, расположенные на юго-западной оконечности очаговой области землетрясения 28 декабря у кругого изгиба изогнутого дна, по-видимому, фиксируют юго-западную границу ожившей взбросодвиговой зоны с мощной зоной сбросодвигов азуптических структур.

**Магнитудные оценки.** В работах [2, 3], а также в табл. 1 приведены магнитудные оценки. По оценкам поверхностных волн магнитуда дается в интервале 7,0–7,5 (по вертикальной компоненте оценки меньше, чем по горизонтальной). По оценкам объемных волн интервал магнитуд 6,2–7,0. При этом оценки магнитуд по короткопериодной аппаратуре 6,2–6,5, а по среднепериодной — 7,0.

Дополнительно проведена оценка магнитуды по макросейсмическим данным. По Н.В. Шебалину [4], при интенсивности 7,5 балла на расстоянии 10 км, глубине очага



## Общая характеристика очага землетрясения

Особенности волновой картины. На рис. 5 приведены образцы сейсмограмм землетрясения 28 декабря на близких и телесейсмических расстояниях. На записях региональных сейсмических станций в первых вступлениях наблюдается слабоинтенсивная группа волн  $P$  с преобладающим периодом 1,5–2 с, через 5–7 с вступает существенно более интенсивная и более высокочастотная группа  $P$ -волн. По-видимому, эти две группы волн  $P$  связаны с процессом многократного формирования разрыва в очаге сильного землетрясения. На телесейсмических расстояниях это явление несколько сглажено, однако и на записи диннолperiодной аппаратурой СД-1 можно видеть, что в группе волн  $P$  максимальное смещение наблюдается через 8–10 с после первого вступления.

Формирование очаговой области. На рис. 6 показано распределение во времени и пространстве эпицентров афтершоков землетрясения 28 декабря, последовавших в течение суток после основного толчка. Рассмотрим, как формировались область толчка по данным афтершоков с  $K \geq 8,5$ .

За первые сутки было зарегистрировано 59 афтершоков 9–12-го энергетических классов. Проекция областей афтершоков первых суток (очаговая область землетрясения 28 декабря) представляет собой эллипсоидообразную зону, ориентированную вдоль изобат морского дна близ побережья Камчатского п-ова. С океанической стороны очертания очаговой зоны следуют очертания изобаты 2500 м. Инструментальный эпицентр главного толчка находится в срединной части северо-западной границы очаговой области. Размеры очаговой области: большая ось эллипса — 45 км, малая — 22 км.

Первый зарегистрированный афтершок произошел в 25 км на юго-запад от главного толчка. Это направление определило ориентацию большей оси эллипсоидной области, оконтуривающей афтершоки первых суток активности. Дальнейшее возникновение афтершоков шло достаточно хаотично, хотя для первых 20 афтершоков (выделенных черными кружками на рис. 6, а) можно заметить две основные тенденции распространения: вдоль побережья Камчатского п-ова (очаги № 2, 3, 5, 11, 13, 15–17, 21) и вкrest первого направления, вдоль простирации структур Алеутской губкой водной впадины (№ 4, 6–10, 14, 18–20).

Механизм очага. На рис. 7 представлена стереограмма, построенная для анализа механизма очага землетрясения 28 декабря (сводку параметров очага главного толчка и сильных афтершоков см. в каталоге дополнительных параметров очагов землетрясений). Для построения распределения знаков смещения в первых вступлениях  $P$ -волн использованы данные 17 региональных сейсмических станций Камчатки и 182 станции советской и зарубежной сетей, приведенные в [2, 3]. Система напряжений, действовавшая в очаге землетрясения, характеризуется близгоризонтальным напряжением сжатия, идущим на северо-запад, и северо-восточным близгоризонтальным растяжением. В результате действия указанной системы напряжений произошла сдвиговая подвижка с небольшой взбросовой компонентой. По-видимому, реальная по верхности разрыва в очаге землетрясения может соответствовать субмеридиональной нодальной поверхности II, просирание которой близко к простиранию Курило-Камчатской группы эпицентров афтершоков (см. рис. 6). Это направление трассируется первыми по времени возникновения афтершоками. В этом случае можно попытать, что в очаге землетрясения произошел левый сдвиг с некоторой взбросовой составляющей. Механизм очага близок к построенным американским исследователями в [2].

Сопоставление механизма очага землетрясения 28 декабря с механизмом форшокового землетрясения марта–апреля показывает, что взбросодвиговый очаг землетрясения 26 марта, отмеченного близ эпицентра землетрясения 28 декабря, сформировался под действием той же системы напряжений, что и очаг землетрясения 28 декабря.

Землетрясения 7 и 8 апреля имели сдвиговый и сбросодвиговый очаги. Их эпцентры, расположенные на юго-западной оконечности очаговой области землетрясения 28 декабря у кругого изгиба изогнутого дна, по-видимому, фиксируют юго-западную границу ожившей взбросодвиговой зоны с мощной зоной сбросодвигов азуптических структур.

**Магнитудные оценки.** В работах [2, 3], а также в табл. 1 приведены магнитудные оценки. По оценкам поверхностных волн магнитуда дается в интервале 7,0–7,5 (по вертикальной компоненте оценки меньше, чем по горизонтальной). По оценкам объемных волн интервал магнитуд 6,2–7,0. При этом оценки магнитуд по короткопериодной аппаратуре 6,2–6,5, а по среднепериодной — 7,0.

Дополнительно проведена оценка магнитуды по макросейсмическим данным. По Н.В. Шебалину [4], при интенсивности 7,5 балла на расстоянии 10 км, глубине очага

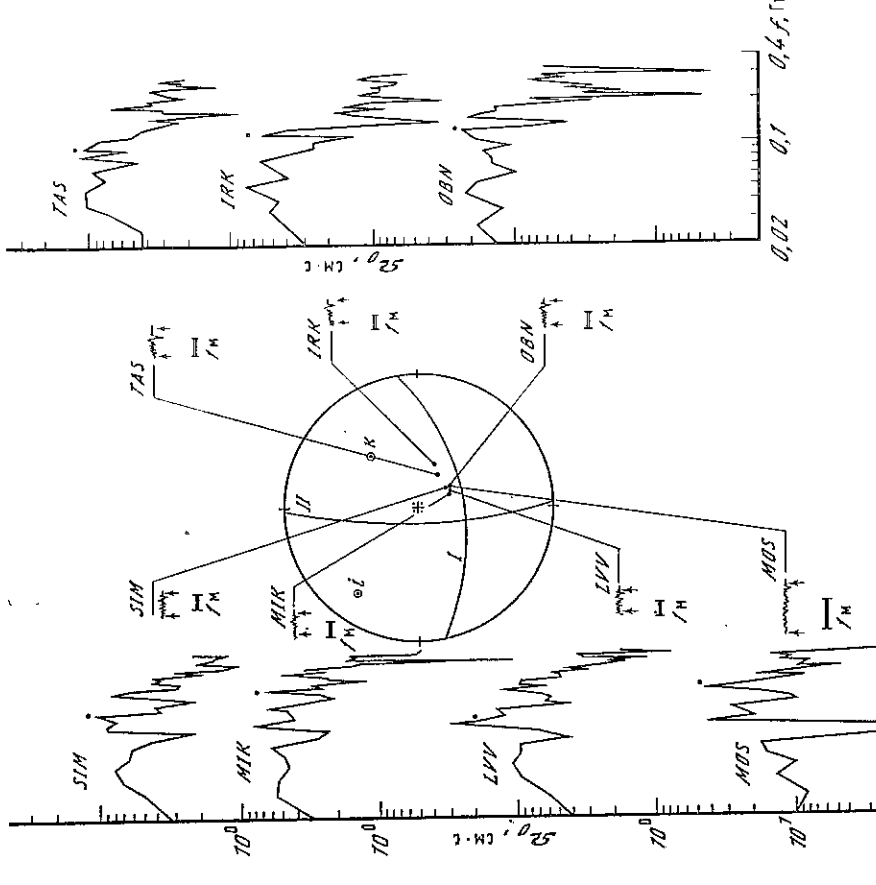


Рис. 7. Стереограмма, построенная для анализа механизма очага землетрясения 28 декабря в 10 ч 37 мин  
1, 2 — станции, зарегистрировавшие вступления волн сжатия и разрежения; 3 — ось главных напряжений ( $I$  — сжатия,  $z$  — растяжения,  $z$  — промежуточного); 4 —nodальные плоскости

19 км имеет магнитуду 5,5–6,0, т.е. существенно меньшую, чем по инструментальным данным. Сопоставление с кривой стадии балансности с расстоянием, построенным С.А.Федотовым и Л.С.Шумилиной [5] для курило-камчатских землетрясений, дает величину магнитуды 6. Подобное несовпадение макросейсмической и инструментальной оценок магнитуды наблюдалось для сильных землетрясений близ о-ва Беринга, а также при землетрясениях 22 ноября 1969 г. в Озерновском заливе и 15 декабря 1971 г. близ Таблица 3

Очаговые параметры землетрясения 28 декабря

Сейсмостанция	Код	Тип прибора	$\Delta$ , град	$\lg M_o^R$ (Н · м)	Р-волны			
					$f_0$ , Гц	$r$ , км	$\lg M_o$ (Н · м)	$\Delta \sigma$ , МПа
Иркутск	IRK	СД-1	32	19,39	0,12	16,9	19,36	2,1
		СД-1	60		0,10	20,3	19,31	1,2
Ташкент	TAS	П-10	61		0,13	16,2	19,11	1,4
Обнинск	OBN	СД-1	62		0,16	12,7	19,38	5,1
Москва	MOS	СД-1	64	18,39	0,16	12,7	19,15	3,0
Минск	MIK	СД-1	70	18,32	0,12	16,9	19,14	1,1
Симферополь	SIM	СД-1	74	18,20	0,10	20,3	19,30	1,1
Львов	LVV	СД-1	18,57	0,13	16,5	19,25	2,1	
Средние оценки								

140

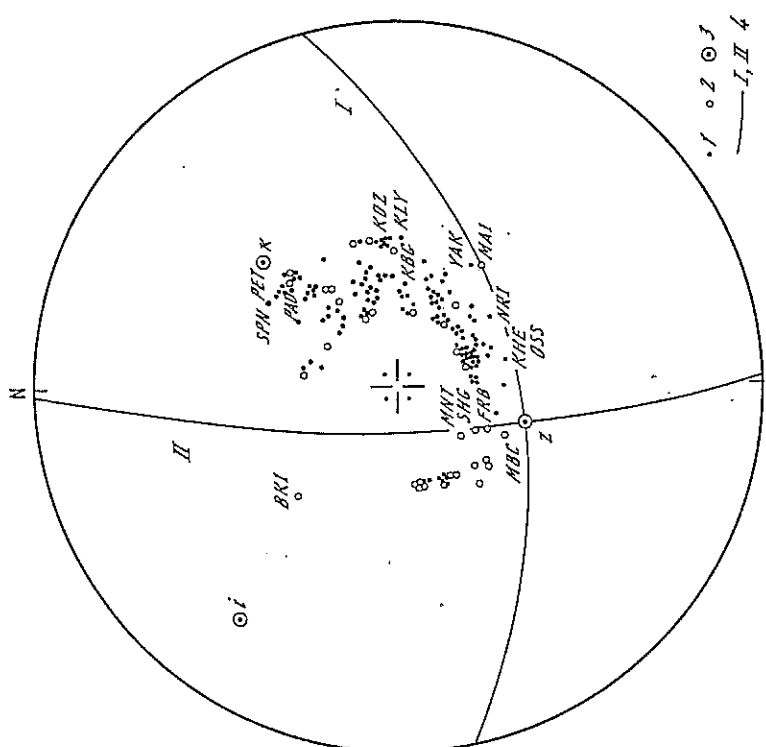


Рис. 8 Колл. сейсмограммы Р-волны землетрясений 28 декабря в 10 ч 37 мин и соответствующие амплитудные спектры Фурье  
Стрелками указаны участки цифровки, точками показано положение характерных частот спектра. Станицы даны в международном коде

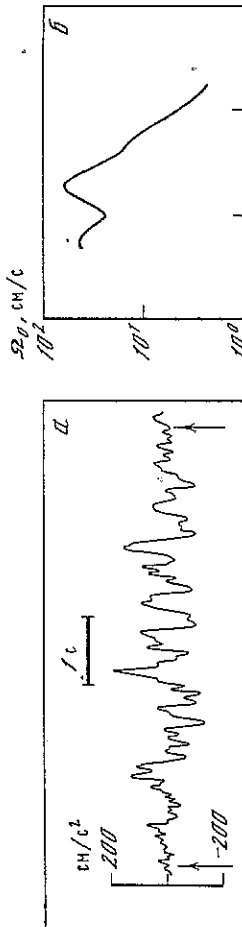
Усть-Камчатска. Не исключено, что соотношение магнитуда-интенсивность [5], полученные для Курило-Камчатского региона в целом, должно быть скорректировано для близких эпицентральных расстояний при землетрясениях в области, примыкающей к Командорским островам и Камчатскому заливу.

Оценка очаговых параметров землетрясения. На основе амплитудных спектров Фурье продольных волн и поверхностных волн Рэлея по методике, описанной в [6], проведена оценка очаговых параметров. На рис. 8 приведены колпии сейсмограмм  $P$ -волн и соответствующие спектры Фурье для семи сейсмических станций Советского Союза, снабженных аппаратурой СД-1 и Пресса-Юнита. В табл. 3 даны сводка оценок очаговых параметров. Получены следующие средние оценки: сейсмический момент по поверхностным волнам 18,6 лог. ед. (Н · м), по продольным волнам 19,3 лог. ед. (Н · м); радиус круговой дислокации, эквивалентной очагу, 17 км; величина сброшенного напряжения

1. Зобин В.М., Гордеев Е.И., Иванова Е.И. и др. Землетрясения Камчатки и Командорских островов // Наст. сборник.
2. Earthquake Data Report. 1985. N 12-84. P. 2, 202-206.
3. Сейсмологический бюллетень 21-31 декабря 1984 г. Обнинск, 1985. 23 с.
4. Шебалин Н.В. Очаги сильных землетрясений на территории СССР. М.: Наука, 1974. 54 с.
5. Федотов С.А., Пулмаша П.С. Сейсмическая спирасимость Камчатки // Изв. АН СССР. Физика Земли. 1971. № 9. С. 3-15.
6. Зобин В.М., Иванова Е.И., Чиркова В.Н. Основные параметры землетрясений Камчатки и Командорских островов // Вулканология и сейсмология. 1984. № 2. С. 83-103.

Рис. 9. Копия записи ускорения колебания грунта при землетрясении 28 декабря (a) и соответствующий спектр Фурье (б) на канале С-10 прибора ССРЗ-М на мысе Африка (энтцентральное расстояние 10 км)

Скрепками показаны участки цифровки



2,1 МПа. Оценка сейсмического момента по  $P$ -волнам близка оценке, проведенной в [2], также по  $P$ -волнам и равной 19,2 лог. ед. (Н · м). Размер очаговой области (диаметр круговой дислокации) равен 34 км, что согласуется с оценкой по распространению афтершоков первых суток, равной 45 км.

Сильные движения. При землетрясении сильные движения оценивались на основе записей ускорения колебаний грунта на станции ССРЗ-М мыса Африка. На рис. 9 приведены коляя акселерограммы и соответствующий ей амплитудный спектр Фурье. Величина ускорения, зарегистрированная на мысе Африка, равна 197 см/ $s^2$ . В соответствии со шкалой MSK-64 подобному ускорению соответствует интенсивность сотрясения в 8 баллов.

Спектр рассчитан для записи 5-чилла на горизонтальном канале акселерографа для интервала частот 0,5-11 Гц, открыты в сторону низких частот. Максимальные значения ускорений отмечены для интервала частот 0,5-2,0 Гц с двумя максимумами — на частотах 0,5-0,7 и 2,0 Гц. Выше 2 Гц наблюдается резкий спад спектра в сторону высоких частот.

#### Афтершоковая активность

На рис. 6, б показано распределение 17 афтершоков за период 28 декабря 1984 г. — 30 января 1985 г. энергетического класса  $K \geq 10,5$ . Отмечено 15 афтершоков на глубинах 0-10 км и 2 (№ 3, 5) на глубинах 21-39 км. 14 афтершоков находятся в энергетическом интервале  $K = 10,5 \div 11,4$ , 3 афтершока (№ 4, 15, 18) имеют энергетический класс 12, 16 афтершоков произошли за 4 сут декабря, в январе отмечено лишь одно событие (30 января, № 18) рассматриваемого энергетического уровня.

Большая часть афтершоков расположена в пределах области афтершоков первых суток. Челко выделяются два основных направления, по которым идет группирование афтершоков: Курило-Камчатское, ориентированное вдоль побережья Камчатского п-ова (очаги № 3, 2, 4, 6, 10, 12, 13), и Алеутское, ориентированное почти по нормали к первому. Очаг главного события 28 декабря находился на пересечении афтершоков в Алеутском и Курило-Камчатского направлений.

Наиболее сильные афтершоки произошли на северо-восточной (№ 15, 18) и юго-западной (№ 4) оконечностях очаговой области. Механизм очага сильных афтершоков: для очага № 4 не определен, очаг № 15 — сдвиговая подвижка, очаг № 18 — взбросовая подвижка. Для основного толчка отмечена подвижка типа сдвига с небольшой взбросовой компонентой, т.е. механизм очага сильных афтершоков северо-восточной оконечности очаговой области близок к механизму очага основного толчка.

## Землетрясения Северо-Востока

В 1984 г. землетрясения Северо-Востока зарегистрировались прежней сетью, состоящей из 16 сейсмических станций (4 опорных, 12 региональных). Все региональные сейсмометры СМ-3 и гальванометра М1031/3. Опорные сейсмические станции дополнительно оснащены каналами повышенной чувствительности (КПЧ) с большой скоростью развертки, (до 640 мм/с) — СМ-3 + НО44.1 + МО12/10 Гц (на сейсмостанции Дебин — СКМ-3 + НО44.1 + МО12/10 Гц) и индикаторными каналами для контроля срабатывания АУЗ-ЛМ-СМ-3 + УПГ2М + НОО2 [1].

Для определения эпичентров землетрясений, также использовались материалы сейсмостанций Иультин (ИФЗ) и Усть-Нера (ЯИП). Координаты эпичентров землетрясений вычислялись методами гипербол, средних линий и засечек с применением годографа, построенного для Северо-Востока Т.А. Андреевым [2]. В 1984 г. при обработке каждого землетрясения проводилось уточнение идентификации типов волн, путем построения годографов. Точность определения времени в очаге  $t_0$  проверялась построением графиков Вадати. Глубины землетрясений определялись методами Искавы и Вадати [3], а энергетический класс  $K$  — по nomogramme Т.Г. Раундан.

Расчетанные графическими методами параметры землетрясений юго-западной части региона, так же как и в прошлом году, пересчитывались на ЭВМ БЭСМ-6 по программам "Секак" и "Глубина", составленным С.В. Мишиным и Т.А. Андреевым на языке Fortran.

Таблица 1

Регион, район	Энергетический класс $K$						Всего
	7	8	9	10	11	12	
Северо-Восток	1	9	33	8	3	1	1
В том числе:							56
Охотское море			4		1		5
Охотско-Чукотский вулканогенный пояс	1	2	7	5	1		16
Коряко-Камчатская крайно-западная складчатая область				2	1		3
Верхнечо-Чукотская мезозападная складчатая область	7	16	2	1	1	27	
Берингово море				3	1		4
Чукотское море				1			1